

**2 Параболическая нагрузка направлена выпуклостью вниз** и действует на круговую часть поверхности пластины, ограниченную окружностью радиуса  $r = a$ . Тогда

$$q(r, t) = q_0(t)H_0(a-r)\left(1-\frac{r}{a}\right)^2.$$

Отсюда

$$q_n(t) = \frac{4q_0(t)}{M_0 d_n \beta_n^3 a} \left[ \sum_{n=1}^{\infty} J_{2n+1}(\beta_n a) + \frac{J_0(\beta_n r_0)}{I_0(\beta_n r_0)} \sum_{n=1}^{\infty} (-1)^n I_{2n+1}(\beta_n a) \right].$$

**Вывод.** По результатам проведенных исследований, с точки зрения прочности, при одинаковой равнодействующей вогнутые параболические нагрузки являются наиболее, а прямоугольные – наименее опасными.

УДК 539.3

## ВЗАИМОДЕЙСТВИЕ СФЕРИЧЕСКОЙ ВОЛНЫ С ОДНОРОДНОЙ ПРЕГРАДОЙ В ГРУНТЕ

*Н. А. ЛОКТЕВА*

*Московский авиационный институт, Российская Федерация*

*Д. В. ТАРЛАКОВСКИЙ*

*НИИ механики МГУ им. М. В. Ломоносова, г. Москва, Российская Федерация*

Рассматривается, шарнирно опертая прямоугольная пластина, окруженная с двух сторон средами «1» и «2» (рисунок 1). Среда представляет из себя однородный грунт, что позволяет в качестве их моделей использовать однородную изотропную среду. В среде «1» индуцируется сферическая гармоническая волна, которая взаимодействует с преградой. В качестве модели пластины используется декартова система координат  $Ox_1x_2$ , при этом предполагается, что плоскость  $Ox_1$  для пластины является срединной, а ось  $Ox_2$  направлена в глубину среды «2».

На пластину набегают гармоническая сферическая волна с амплитудой давления на фронте  $p_*$  и частотой  $\omega$ . В результате ее взаимодействия с пластиной в окружающих средах «1» и «2» возбуждаются давления с амплитудами  $p_1$  и  $p_2$  соответственно.

Основной целью является определение виброускорения, возникающее в среде «2» в результате взаимодействия волн и пластины. Необходимо определить координаты и модуль виброускорения:

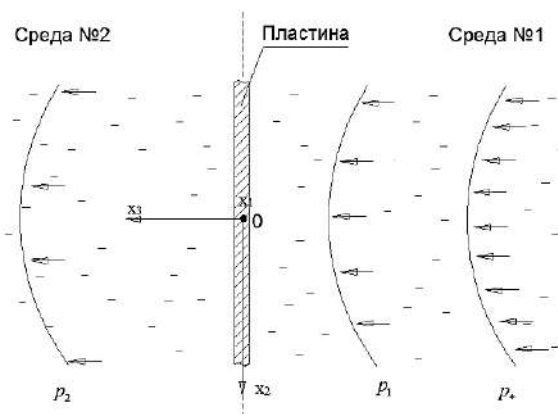


Рисунок 1

$$a = \sqrt{a_x^2 + a_y^2 + a_z^2}. \quad (1)$$

Будем считать, что все функции, входящие в уравнения движения преграды и среды, меняются по гармоническому закону.

В качестве преграды рассматривается пластина типа Тимошенко С.П. [1]. Все, входящие в уравнения Тимошенко С. П., функции раскладываются в тригонометрические ряды таким образом, чтобы выполнялись граничные условия, соответствующие шарнирному закреплению краев пластины. В результате разложения в тригонометрические ряды получается следующая система уравнений:

$$\begin{aligned} -\rho h \omega^2 w_{nm} + \mu h k^2 (\lambda_n \chi_{1nm} + \lambda_n^2 w_{nm}) + \mu h k^2 (\lambda_m \chi_{2nm} + \lambda_m^2 w_{nm}) - (p_{1nm} + p_{2nm}) &= 0; \\ -\rho I \omega^2 \chi_{1nm} + I(\lambda + 2\mu) \lambda_n^2 \chi_{1nm} + I(\lambda + \mu) \lambda_n \lambda_m \chi_{2nm} + \mu I \lambda_m^2 \chi_{1nm} + \mu h k^2 (\chi_{1nm} + \lambda_n w_{nm}) &= 0; \\ -\rho I \omega^2 \chi_{2nm} + I(\lambda + 2\mu) \lambda_m^2 \chi_{2nm} + I(\lambda + \mu) \lambda_n \lambda_m \chi_{1nm} + \mu I \lambda_n^2 \chi_{2nm} + \mu h k^2 (\chi_{2nm} + \lambda_m w_{nm}) &= 0, \end{aligned} \quad (2)$$

где  $\lambda_n = \frac{\pi n}{l_1}$ ,  $\lambda_m = \frac{\pi m}{l_2}$ ;  $\omega$  – частота колебаний пластины;  $l_1, l_2$  – длины сторон пластины;  $\rho$  и  $\lambda, \mu$  – плотность и упругие постоянные Ламе;  $w_{nm}$  – прогиб;  $\chi_{1nm}, \chi_{2nm}$  – кривизны;  $\kappa$  – изменения кривизны срединной плоскости;  $P_{1nm}, P_{2nm}$  – амплитуды давлений в срезе «1» и «2». Из системы уравнений (2) определяются значения перемещений в коэффициентах рядов.

В качестве модели грунта используется однородная упругая изотропная среда. Замкнутая система уравнений, описывающая ее движение, включает в себя уравнения движения, соотношения Коши, физический закон [2]. Кроме того, возможно в качестве эквивалентных уравнений записать систему уравнений Ламе и выражения для перемещений в потенциалах:

$$\ddot{\phi} = c_1^2 \Delta \psi, \quad \ddot{\psi} = c_2^2 \Delta \psi, \quad c_1^2 = \frac{\lambda_g + 2\mu_g}{\rho_g}, \quad c_2^2 = \frac{\mu_g}{\rho_g}; \quad (3)$$

$$u_1 = \frac{\partial \phi}{\partial x} + \frac{\partial \psi_3}{\partial y} - \frac{\partial \psi_2}{\partial z}, \quad u_2 = \frac{\partial \phi}{\partial y} + \frac{\partial \psi_1}{\partial z} - \frac{\partial \psi_3}{\partial x}, \quad w = \frac{\partial \phi}{\partial z} + \frac{\partial \psi_2}{\partial x} - \frac{\partial \psi_1}{\partial y}, \quad (4)$$

где  $u_1, u_2$  и  $w^{(1)}$  – перемещения упругой среды вдоль осей  $Ox, Oy$  и  $Oz$  соответственно,  $\theta$  – коэффициент объемного расширения;  $\rho_g$  и  $\lambda_g, \mu_g$  – плотность и упругие постоянные Ламе грунта;  $l$  – номер среды. Для решения волновых уравнений также представляем все функции в виде тригонометрических рядов. Поскольку занимаемая грунтом область неограничена, то потенциалы решения уравнений (3) должны удовлетворять условиям излучения Зоммерфельда. Для определения констант интегрирования, возникающих в результате решения выражений (3), рассматриваются смешанные условия контакта пластины и грунта.

$$w_{nm} = w_{nm}^{(1)} \Big|_{z=0} + w_{*nm}, \quad w_{nm} = w_{nm}^{(2)} \Big|_{z=0}, \quad P_{1nm} = \sigma_{33nm}^{(1)} \Big|_{z=0} + \sigma_{33*nm}, \quad P_{2nm} = -\sigma_{33nm}^{(2)} \Big|_{z=0}; \quad (5)$$

$$\sigma_{12nm}^{(2)} \Big|_{z=0} = \sigma_{12nm}^{(1)} \Big|_{z=0} = 0, \quad \sigma_{13nm}^{(2)} \Big|_{z=0} = \sigma_{13nm}^{(1)} \Big|_{z=0} = 0, \quad \sigma_{23nm}^{(2)} \Big|_{z=0} = \sigma_{23nm}^{(1)} \Big|_{z=0} = 0.$$

При этом принимается, что  $\sigma_{33} \Big|_{z=0} = p_* \Big|_{z=0}$ , где  $p_* = \frac{-i\omega \rho_c}{\sqrt{(x-x_*)^2 + (y-y_*)^2 + (z+d)^2}}$ ;  $x_*, y_*, d$  –

координаты источника.

Для задания значений напряжений и перемещений в набегающей волне решаем волновое уравнение в потенциалах с учетом значения нормального напряжения:

$$u_{1*nm} = \frac{x_* i \omega \rho_c R}{N r_*} \left( i k e^{-i k r_*} + \frac{k e^{-i k r_*}}{r_*} \right); \quad u_{2*nm} = \frac{y_* i \omega \rho_c R}{N r_*} \left( -i k e^{-i k r_*} - \frac{k e^{-i k r_*}}{r_*} \right); \quad (6)$$

$$u_{3*nm} = \frac{i \omega \rho_c d R}{N r_*} \left( -i k e^{-i k r_*} - \frac{k e^{-i k r_*}}{r_*} \right);$$

$$\sigma_{11*nm} = \sigma_{22*nm} = \sigma_{33*nm} = \frac{-i \omega \rho_c R}{r_*}. \quad (7)$$

Здесь

$$R = \frac{l_1 l_2 (1 - (-1)^n) (1 - (-1)^m)}{\pi^2 n m};$$

$$N = 3\lambda \left( -i e^{-i k \sqrt{x_*^2 + y_*^2 + d^2}} - \frac{e^{-i k \sqrt{x_*^2 + y_*^2 + d^2}}}{\sqrt{x_*^2 + y_*^2 + d^2}} \right) + 2\mu \left( -i e^{-i k \sqrt{x_*^2 + y_*^2 + d^2}} - \frac{e^{-i k \sqrt{x_*^2 + y_*^2 + d^2}}}{\sqrt{x_*^2 + y_*^2 + d^2}} \right).$$

Подставляя полученные значения констант и параметров набегающей волны в выражения для перемещений, получаем коэффициенты разложений в ряды перемещений в среде «2». Тогда на основании формул (1) становится возможным определить модуль виброускорения в зависимости от частоты набегающей волны.

Работа выполнена при финансовой поддержке РФФИ (проект 18-58-00008).

#### Список литературы

- 1 Тимошенко, С. П. Пластины и оболочки / С. П. Тимошенко, С. Войновский-Кригер. – М. : Наука, 1966. – 636 с.
- 2 Волны в сплошных средах / А. Г. Горшков [и др.]. – М. : ФИЗМАТЛИТ, 2004. – 472 с.